



مجله علمی پژوهشی مکانیک سازه ها و شاره ها



DOI: 10.22044/JSTM.2017.4043.2081

بررسی نقشه تغییرشکل گرم نانوکامپوزیت مس-آلومینا با استفاده از شبکه عصبی مصنوعی

علیرضا پوست فروشان^۱، پدرام زمانی^{۲*}، رضا مسعودی نژاد^۳ و مهران کدخدایان^۴

^۱ دانشجوی کارشناسی ارشد، دانشگاه فردوسی مشهد، دانشکده‌ی مهندسی، گروه مهندسی مکانیک

^۲ دانشجوی دکتری، دانشگاه فردوسی مشهد، دانشکده‌ی مهندسی، گروه مهندسی مکانیک

^۳ استاد، دانشگاه فردوسی مشهد، دانشکده‌ی مهندسی، گروه مهندسی مکانیک

مقاله مستقل؛ تاریخ دریافت: ۱۳۹۵/۰۴/۱۷؛ تاریخ بازنگری: ۱۳۹۵/۱۱/۱۶؛ تاریخ پذیرش: ۱۳۹۶/۰۴/۱۸

چکیده

در این تحقیق، تولید نانوکامپوزیت‌های مس-آلومینا به روش متالورژی پودر و تغییرشکل گرم آن، مورد بررسی قرار گرفته‌اند. برای این منظور، نانوکامپوزیت‌های Cu-XAl₂O₃ با سه ترکیب مختلف پس از فرایندهای آسیاکاری مکانیکی و تف جوشی در دمای ۷۵۰ درجه سانتی‌گراد تولید شده‌اند. متعاقباً نمونه‌های استوانه‌ای شکل از هر نانوکامپوزیت، تحت آزمایش فشار گرم قرار گرفته‌اند. جهت بررسی پارامترهای موثر بر تغییر شکل گرم این نانوکامپوزیت‌ها، دماهای تغییر شکل گرم ۳۵۰، ۴۰۰، ۴۵۰ و ۵۰۰ درجه سانتی‌گراد و نرخ کرنش‌های ۰/۰۰۳، ۰/۰۰۳ و ۰/۰۳ بر ثانیه انتخاب شده است. بررسی تغییر شکل گرم این نانوکامپوزیت‌ها نشان می‌دهد که شرایط مناسب برای انجام تغییر شکل در دماهای پایین و در نرخ کرنش‌های پایین و نیز در دماهای بالا در نرخ کرنش‌های متوسط است. انجام تغییر شکل این نانوکامپوزیت در دماهای بالا و نرخ کرنش‌های بالا، باعث تشکیل ترک‌های ریز در مرز دانه‌های نمونه می‌شود؛ همچنین، در نمونه‌های تغییر فرم یافته در دماهای پایین، باند برشی آدیباتیک مشاهده می‌شود.

کلمات کلیدی: نانوکامپوزیت؛ تغییرشکل گرم؛ نقشه فرایند؛ شبکه عصبی مصنوعی.

A Survey on Processing Map for the Hot Deformation of Copper - Alumina Nanocomposites Using Artificial Neural Network

A.R. Pustforushan¹, P. Zamani^{2,*}, R. Masoudi Nejad², M. Kadkhodayan³

¹ M.Sc. Student, Mech. Eng., Ferdowsi University of Mashhad, Mashhad, Iran.

² Ph.D. Student, Mech. Eng., Ferdowsi University of Mashhad, Mashhad, Iran.

³ Prof., Mech. Eng., Ferdowsi University of Mashhad, Mashhad, Iran.

Abstract

In the present research, an investigation is carried out on hot process deformation of Cu-Alumina nanocomposites. Cu-Al₂O₃ nanocomposites are manufactured at 750 centigrade degrees using powder metallurgy technique and consequently hot compression test performed on cylindrical alumina nano particle samples. Three weight fractions for Al₂O₃ (1%, 2% and 3%), four different temperatures (350, 400, 450 and 500), three strain rates (0.003, 0.03 and 0.3 s⁻¹) and three strains (0.4, 0.5 and 0.6) were chosen to perform the experiments. Stress-strain curves are determined for 48 experiments and to optimize the process parameters in hot deformation, processing map is obtained for different strains. The results of modeling the hot deformation behavior of Cu-Al₂O₃ nanocomposites using artificial neural network (ANN) and the experimental results revealed the most optimal conditions for hot deformation of nanocomposite materials.

Keywords: Nanocomposite; Alumina; Hot Deformation Process; Process Map; Artificial Neural Network.

* نویسنده مسئول؛ تلفن: ۰۹۳۵۸۲۲۴۱۹۵؛ فکس: ۰۵۱۳۸۸۰۶۰۵۵

آدرس پست الکترونیک: p.zamani@mail.um.ac.ir

پژوهش، شرایط کاری مطلوب (دما، نرخ کرنش و درصد آلمینا) جهت تغییر شکل مطلوب این نانو کامپوزیت بررسی می‌شود.

۲- روش انجام آزمایشات

مواد مورد استفاده در این تحقیق، پودرهای نانو آلمینا (nm^{۵۰}) و مس (5 μm^{۵۰}) می‌باشند. جهت انجام آزمایش‌های فشار گرم، سه نوع نمونه با درصد‌های وزنی ۱ و ۲ و ۳ درصد آلمینا در نظر گرفته شده‌اند. در ابتدا باید با توجه به درصد وزنی آلمینی ای مورد نظر، اقدام به محاسبه وزن مورد نیاز از پودر کرده که بر اساس محاسبه حجم قطعات مورد نیاز (استوانه به قطر ۱۰ میلی‌متر و ارتفاع ۱۵ میلی‌متر) و چگالی پودرهای و بر اساس روابطی محاسبه می‌شود که در ادامه ذکر شده‌اند. این روابط برای نمونه با ۱ درصد وزنی پودر آلمینا می‌باشند:

$$V = \pi r^2 h \quad (1)$$

$$\rho = \rho_{cu} x_{cu} + \rho_{Al_2O_3} x_{Al_2O_3} \quad (2)$$

$$M = \rho V \quad (3)$$

پودرهای بعد از ترکیب شدن در ظرف بالمیل (آسیاب گلوله‌ای) قرار داده می‌شوند. نسبت وزنی گلوله به پودر به اندازه ۱۰ به ۱ در نظر گرفته شده است. سپس برای جلوگیری از چسبیدن پودرهای ظرف مقدار ۱/۵ ml اتانول را به محفظه اضافه شده، سپس محفظه را در دستگاه بالمیل قرار داده می‌شود. سرعت چرخش در همزدن دستگاه rpm به مدت زمان یک ساعت صورت می‌پذیرد. پودر آماده ۲۵۰ شده در مرحله قبل توسط قالب استوانه‌ای شکل با قطر ۱۰ میلی‌متر و تحت فشار ۱۵ bar توسط دستگاه پرس تبدیل به قرص خام^۱ می‌شود. نمونه مورد نظر پس از پرس در کوره با دمای ۷۵۰ °C و به مدت یک ساعت تحت اتمسفر محافظه پخت می‌شود.

به منظور انجام آزمون فشار گرم، ۳۶ قطعه نانو کامپوزیت مس-آلومینا با درصد‌های مختلف تهییه شده است. تعداد ۳۶ آزمایش شامل، حاصل ضرب ۳ سطح درصد وزنی آلمینا (۱، ۲، ۳)، ۴ سطح دمای مختلف شرایط آزمایش

۱- مقدمه

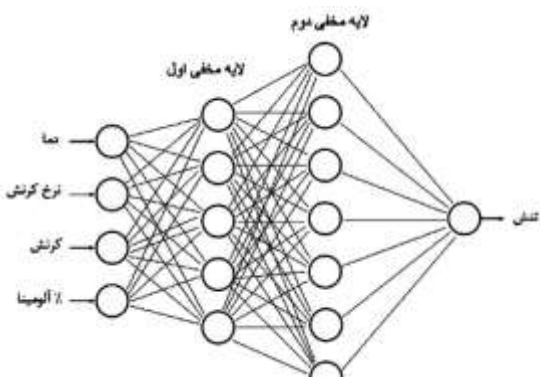
کامپوزیت‌های زمینه مس تقویت شده با نانوذرات Al₂O₃ دارای خواص مکانیکی قابل توجهی همچون، نسبت استحکام به وزن بالا، شکل‌پذیری خوب، استحکام و ضریب ارتاجاعی بالا، ضریب انبساط حرارتی پایین، مقاومت سایشی عالی، مقاومت خرزشی مناسب در دمای بالا و استحکام خستگی مناسب می‌باشند [۱، ۲].

با وجود خواص مکانیکی نانو کامپوزیت‌های مس-آلومینا، بررسی رفتار تغییر شکل گرم این مواد برای شکل‌دهی ثانویه، از اهمیت زیادی برخوردار است [۳]. تغییر شکل گرم در دمایها و نرخ کرنش‌های نامناسب، باعث شکست ماده می‌شود که این خود لزوم تحقیق برای بدست آوردن شرایط بهینه (دما و درصد وزنی ذرات تقویت کننده و نرخ کرنش) برای بررسی رفتار تغییر شکل گرم این مواد را نشان می‌دهد [۴].

به منظور بهینه‌سازی پارامترهای تغییر شکل و کنترل ریز ساختار در فرایندهای شکل‌دهی گرم از نقشه فرآیندی استفاده می‌شود. این نقشه بر اساس مدل دینامیک ماده^۱ رسم می‌شود. به عبارت دیگر، یک نقشه مکانیکی ارائه کننده پاسخ مواد در برابر تغییر شکل مکانیکی با توجه به تحولات ریزساختاری است که از قرارگیری دو نقشه اتلاف توان و ناپایداری روی یکدیگر بدست می‌آید [۵]. چاندرازخار و همکارانش [۶]، نانو کامپوزیت‌های مس-نانو آلمینا را با روش‌های مختلف باهم ساختند و اثر روش ساخت را بر ریزساختار این نانو کامپوزیت‌ها بررسی کردند. یکی از کاربردهای مطالعه روی تغییر شکل گرم در رفتار و عملکرد لوله‌های انتقال گاز پر فشار تحت درجه حرارت‌های بالا و در شرایطی است که اینمی‌آن‌ها مطابق نمودارهای ارزیابی اینمی‌باید تأمین شود [۷]. در این پژوهش، نانو کامپوزیت‌های مس-آلومینا (Cu-Al₂O₃) به‌وسیله روش متالورژی پودر ساخته می‌شوند. پارامترهای درصد وزنی نانو آلمینا، نرخ کرنش و دما، به صورت متغیر تعریف گردیده‌اند و تاثیر این پارامترها بر استحکام، تنفس، کرنش و تغییر شکل ماده، مورد بررسی قرار گرفته‌اند. با اطلاعات به‌دست آمده از نقشه‌های فرایندهای تهییه شده در این

² Green Bulk

^۱ Dynamic Material Model (DMM)



شکل ۱- پارامترهای ورودی و خروجی در مدل‌سازی شبکه‌ی عصبی

در این مقاله، از شبکه چند لایه پرسپترون^۱ استفاده شده است. در شبکه‌های چند لایه پرسپترون، هر نرون دارای یکتابع تحریک غیر خطی است که از ویژگی مشتق‌پذیری برخوردار است. در این حالت، ارتباط بین پارامترهای شبکه و سیگنال خطأ، کاملاً پیچیده و غیرخطی است، بنابراین مشتقات جزئی نسبت به پارامترهای شبکه به راحتی قابل محاسبه نیستند^[۹]. تعداد آزمایشات همان طور که ذکر شد، ۳۶ آزمایش بوده و خروجی مدل نیز تنش معادل با هر آزمون است. مدل اولیه این طرح، در شکل ۱ نشان داده شده است. در واقع هدف از این مدل‌سازی عددی، بدست آوردن یک مدل صحیح و با دقت بالا برای ارزیابی خواص مکانیکی نانو-کامپوزیت‌های مس - آلومینا و در نهایت مقایسه نمودن و صحت سنجی آزمایش‌های انجام شده است.

۴- نتایج و بحث

۴-۱- نقشه‌های تغییرشکل گرم نانوکامپوزیت مس-آلومینا

پس از انجام آزمون فشار گرم روی ۳۶ نمونه آماده شده، نتایجی حاصل شد که نمودارهای تنش-کرنش بر اساس آن‌ها در شکل ۴ ترسیم شده‌اند. برای ترسیم نقشه‌های فرآیندی، ابتدا تنش‌های معادل کرنش^۲ از اطلاعات کرنش بدست آمده توسط منحنی‌های تنش-کرنش بدست می‌آیند (جدول ۱).

(۰/۰۳، ۰/۰۳، ۰/۰۳) و سه نرخ کرنش متفاوت (۳۶ = (نرخ کرنش)^۳ × (دما)^۴ × (درصد وزنی)^۲) طراحی شده است:

هر یک از این قطعه‌ها با طول ۱۵ mm و قطر ۱۰ mm بر اساس استاندارد ASTM E9 [۸] ماشین‌کاری و آماده‌سازی شده است. این آزمایش توسط دستگاه Santam STM150 مجهز به کوره الکتریکی با دقت ± 5 درجه سانتی‌گراد و در محدوده دمایی ۳۵۰-۵۰۰ درجه سانتی‌گراد، با نرخ کرنش-های ۰/۰۳، ۰/۰۳ و ۰/۰۳ بر ثانیه انجام شده است. زمان لازم برای آماده‌سازی دستگاه و رسیدن به دمای‌های مورد نظر ۹۰ دقیقه در نظر گرفته شده و به منظور همدما شدن، نمونه‌ها به مدت ۳ دقیقه در دمای آزمایش نگهداری و سپس تا محدوده کرنش ۶۰ تحت آزمون فشار گرم قرار گرفته‌اند.

۳- مفهوم شبکه‌ی عصبی

سیستم‌های یادگیری، سیستم‌هایی هستند که رفتار خود را جهت دستیابی به هدف و مقصدی خاص صرفاً برای مشاهده عملکردشان می‌توانند بهبود بخشنند. اگر مقاصد و اهداف به طور کامل تعریف شده باشند، آن‌ها دیگر نیازی به فرآیند یادگیری نخواهند داشت. در مرحله پردازش که مرحله اصلی کار شبکه‌های عصبی است، با استفاده از داده‌های واقعی، خروجی شبکه عصبی مصنوعی به خروجی هدف تعیین شده نزدیک می‌شود و اصطلاحاً شبکه عصبی مصنوعی آموزش می‌بیند. خطای شبکه‌ها، بر اساس مقایسه بین خروجی شبکه و خروجی اصلی تغییر می‌شود، تا هنگامی که خروجی با هدف مطابقت قابل قبولی پیدا کند. در فرایند آموزش شبکه، پارامترهای شبکه طوری تنظیم می‌شوند که پاسخ محاسبه شده توسط شبکه هر چه بیشتر به سمت پاسخ مطلوب نزدیک‌تر شود. یکی از روش‌های پرکاربرد و موثر در مدل سازی‌های چند متغیره و پیچیده، روش پس انتشار است. در این روش، حداقل سازی خطای یک روش سیستماتیک برای آموزش شبکه‌های چند لایه است.

^۱ Multi Layer Perceptron

T در این رابطه بیانگر دما، ds/dt نرخ تولید آنتروپی و علامت نابرابری برگشت ناپذیری تغییر شکل را بیان می‌کند. مالورن نشان داد که کل آنتروپی تولیدی شامل، دو قسمت مجزا است، بخش اول آنتروپی داخلی و قسمت دوم مربوط به آنتروپی حرارتی است و باعث تغییرات متالورژیکی و هدایت حرارتی می‌شوند. واضح است که اتلاف انرژی در سیستم باعث افزایش دما شده، تنها مقدار اندکی از انرژی توسط تغییرات متالورژیکی مصرف می‌شود [۱۲]. تقسیم انرژی میان J و G وسط رفتار جريان مواد کنترل شده، توسط حساسیت J نرخ کرنش (m) به صورت رابطه (۷) قابل ذکر است [۱۰]:

$$\frac{dJ}{dG} = \frac{\dot{\varepsilon} d\bar{\sigma}}{\bar{\sigma} d\dot{\varepsilon}} = \frac{\dot{\varepsilon} \bar{\sigma} d\ln \bar{\sigma}}{\bar{\sigma} \dot{\varepsilon} d\ln \dot{\varepsilon}} \approx \frac{\Delta \log \bar{\sigma}}{\Delta \log \dot{\varepsilon}} = m \quad (7)$$

برای ترسیم نقشه اتلاف توان، نرخ حساسیت به کرنش (m) با توجه به معادله ۹ از نتایج فوق در دما و نرخ کرنش-های مختلف محاسبه می‌شود. هرچه تعداد نقاط بدست آمده بیشتر باشد، منحنی‌ها نیز با دقت بیشتری ترسیم می‌گردند؛ بنابراین جهت افزایش دقت محاسبات، از اسپیلاين مکعبی^۱ استفاده شده است. در مرحله اول برای بدست آوردن مقادیر قابل اطمینان، ارتباط لگاریتم تنش با مقدار $1/T$ وسط توابع اسپیلاين مکعبی، میان‌یابی شده، در ادامه مقادیر تنش در دماهای دیگر مشخص می‌شوند.

پس از محاسبات ذکر شده توسط اسپیلاين مکعبی، تنش در نرخ کرنش‌های مورد آزمون و کرنش‌های انتخاب شده برای تمامی دماهایی بدست می‌آید که مورد آزمون قرار نگرفته است. حال برای ترسیم دقیق نقشه‌های فرایندی مانند محاسبه تمامی دماهای لازم است که تنش در تمامی نرخ کرنش‌ها محاسبه شود. در شکل های ۱ الی ۳، منحنی‌های مربوط به تنش و نرخ کرنش برای دماهای مختلف در کرنش-های انتخاب شده نشان داده شده است.

مقادیر نرخ کرنش برای تنش‌های موجود در دماهای بدست آمده از مرحله قبل، همانند محاسبه دما، با استفاده از اسپیلاين بدست می‌آیند. برای بررسی تغییرات لحظه‌ای J در هر نرخ کرنش و دما رابطه انتگرالی (۸) بیان می‌شود:

$$J = \int_0^{\sigma} \dot{\varepsilon} d\bar{\sigma} = \int_0^{\sigma} K' \bar{\sigma}^{(1/m)} d\bar{\sigma} \quad (8)$$

جدول ۱- نتایج اندازه‌گیری تنش (مگا پاسکال) در دماها و نرخ کرنش‌های مختلف

نارخ کرنش (۱/s)	نارخ (۳C)	دما (۳C)				نارخ کرنش (۱/s)	نارخ کرنش (۱/s)	نارخ کرنش (۱/s)
		۵۰۰	۴۵۰	۴۰۰	۳۵۰			
۰/۰۰۳	۰/۰۰۳	۱۷۵/۶۷	۲۱۰/۸۷	۲۲۵/۱۵	۳۴۲/۶۶	۰/۰۰۳	Cu-1wt.% Al ₂ O ₃	Cu-1wt.% Al ₂ O ₃
۰/۰۴	۰/۰۴	۲۲۱/۱۸	۲۷۷/۱۷	۳۵۲/۸۷	۴۴۱/۰۹	۰/۰۴	Cu-2wt.% Al ₂ O ₃	Cu-2wt.% Al ₂ O ₃
۰/۰۳	۰/۰۳	۲۲۸/۳۳	۲۶۵/۴۶	۳۵۴/۲۵	۴۷۷/۳۹	۰/۰۳		
۰/۰۰۳	۰/۰۰۳	۱۸۷/۴۳	۲۳۹/۱۲	۲۶۶/۶۲	۳۹۳/۴۴	۰/۰۰۳		
۰/۰۰۴	۰/۰۰۴	۲۳۳/۵۹	۲۹۵/۲۶	۳۶۱/۵۹	۴۸۴/۶۴	۰/۰۰۴	Cu-3wt.% Al ₂ O ₃	Cu-3wt.% Al ₂ O ₃
۰/۰۳	۰/۰۳	۳۰۱/۹۱	۳۰۹/۷۹	۳۸۵/۰۵	۵۱۷/۳۰	۰/۰۳		
۰/۰۰۳	۰/۰۰۳	۲۰۳/۳۱	۲۹۰/۰۶	۲۸۲/۸۱	۴۲۴/۸۶	۰/۰۰۳		
۰/۰۷	۰/۰۷	۲۵۶/۳۹	۳۰۹/۸۵	۳۷۵/۸۲	۵۱۸/۳۹	۰/۰۷		
۰/۰۳	۰/۰۳	۳۱۸/۵۳	۳۷۵/۶۶	۴۲۲/۲۷	۵۶۳/۱۸	۰/۰۳		

نقشه اتلاف توان، یکی از قسمت‌های اصلی در سیستم فرایند قطعه کار است. پاسخ ناگهانی مواد ($\bar{\sigma}$) در نرخ کرنش مواد به کاربرده شده ($\dot{\varepsilon}$) و در دمای ثابت (T) و بیشینه (M) به صورت رابطه دینامیکی (۴) داده شده است [۱۰]:

$$\bar{\sigma} = K \dot{\varepsilon}^m |_{T, M} \quad (4)$$

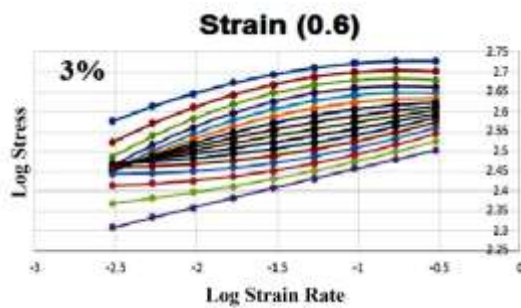
K و m در رابطه‌ی فوق به ترتیب بیانگر، ثابت ماده و حساسیت به نرخ کرنش هستند. توان کل سیستم (P)، از دوتابع J و G تشکیل شده است که در رابطه (۵) بیان شده است [۱۱]:

$$P \cong G + J = \bar{\sigma} \cdot \dot{\varepsilon} \quad (5)$$

P در رابطه‌ی (۵) بیانگر؛ اتلاف توانی است که در ماده رخ می‌دهد. این اتلاف توان از دو قسمت اتلاف توان مربوط به افزایش دما (G) و اتلاف مربوط به ریزساختار ماده (J) تشکیل شده است. برای پیدا کردن مقدار لحظه‌ای (Dynamik) J و G تغییر شکل در دما و نرخ کرنش مشخص، m ثابتی است که برای نرخ کرنش‌های مختلف توسط سیستم انتخاب می‌شود و می‌تواند به نرخ کرنش وابسته باشد. تفسیر فیزیکی J و G، توسط قوانین ترمودینامیک و توسط مالورن بیان شده است. توان کل تلف شده مرتبط با نرخ آنتروپی تولیدی در سیستم است [۱۰]:

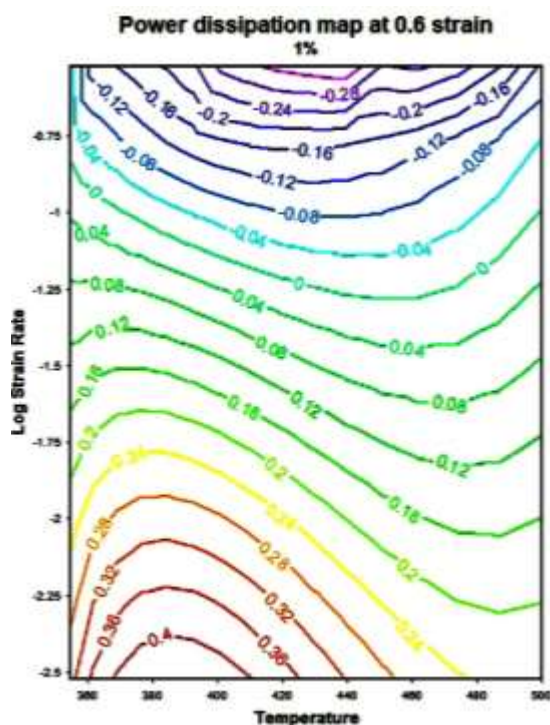
$$P = \bar{\sigma} \cdot \dot{\varepsilon} = \frac{d^i s}{dt} T \geq 0 \quad (6)$$

^۱ Cubic Spline



شکل ۴- منحنی‌های اسپیلاین مکعبی لگاریتم تنش و لگاریتم نرخ کرنش برای نانوکامپوزیت با ۳٪ وزنی آلمینیا

در نتیجه نقشه اتلاف توان بر حسب دما، لگاریتم نرخ کرنش و بازده تلفات توان با استفاده از نرمافزار متلب رسم شده، نتایج آن در شکل‌های ۵ الی ۷ نشان داده شده‌اند. در نقشه‌های ترسیم شده، نقاطی که عدد بالاتری دارند، نشان دهنده قله و اعداد خیلی کوچک، نشان دهنده دره می‌باشند. دره‌ها مانند شکافی، قله‌ها را از یکدیگر جدا می‌کنند.



شکل ۵- نقشه‌ی اتلاف توان نانوکامپوزیت با ۱٪ وزنی آلمینیا

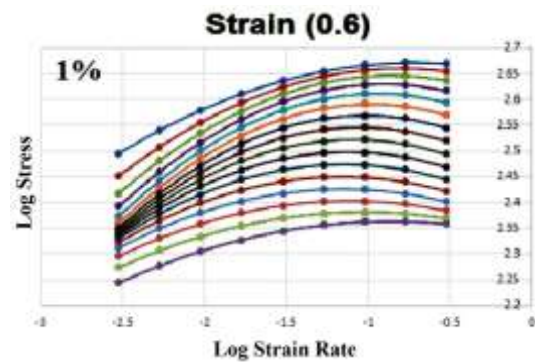
در رابطه (۸)، مقدار m ثابت و برابر (K) است؛ بنابراین رابطه (۹) برای J قابل ارائه است:

$$J = \frac{m\bar{\sigma}\dot{\varepsilon}}{m+1} \quad (9)$$

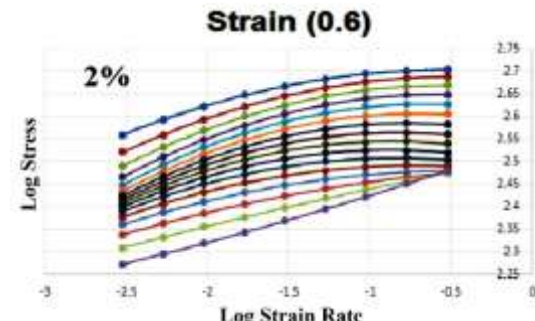
همچنین زمانی که اتلاف‌کننده رابطه خطی دارد ($m=1$)، در این حالت حداکثر اتلاف ممکن رخ خواهد داد و نهایتاً پارامتر بدون بعد به نام بازده اتلاف توان بیان می‌شود [۱۰]:

$$J = \frac{J}{J_{max}} = \frac{2m}{m+1} \quad (10)$$

این پارامتر می‌تواند به عنوان تابعی از دما و نرخ کرنش رسم شده، بدین ترتیب نقشه اتلاف توان حاصل شود. بازده اتلاف توان متناسب با نرخ آنتروپی تولیدی در طول فرایند کارگرم است و متناسب با تغییرات ریزساختاری ناشی از اتلاف انرژی در دما و نرخ کرنش تغییر می‌کند. با جایگذاری مقادیر حساسیت به نرخ کرنش در رابطه ۱۲، بازده تلفات توان (۶) ناشی از تغییر میکروساختار محاسبه می‌شود.



شکل ۲- منحنی‌های اسپیلاین مکعبی لگاریتم تنش و لگاریتم نرخ کرنش برای نانوکامپوزیت با ۱٪ وزنی آلمینیا



شکل ۳- منحنی‌های اسپیلاین مکعبی لگاریتم تنش و لگاریتم نرخ کرنش برای نانوکامپوزیت با ۲٪ وزنی آلمینیا

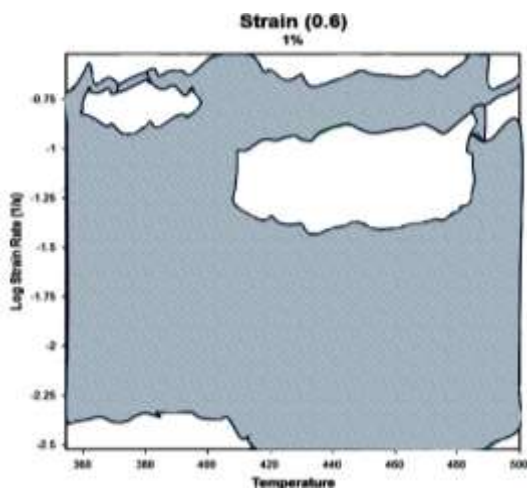
شرایط پایداری در مدل دینامیکی مواد توسط زیگلر^۱ شرح داده شده است. زیگلر بیان کرد که جریان پایدار زمانی اتفاق می‌افتد که رابطه (۱۱) برقرار باشد:

$$\frac{dD}{d\dot{R}} > \frac{D}{\dot{R}} \quad (11)$$

در رابطه بالا $D = \sqrt{\dot{\varepsilon} \cdot \dot{\varepsilon}}$ و \dot{R} تابع اتلاف است که معرف یک رفتار ترکیبی از مواد هستند. زمانی که J به عنوان پارامتر اصلی اتلاف و مرتبط با تغییرات متالورژیکی در طول فرایند باشد، با قرار دادن J به جای D در رابطه ۱۱ پارامتر بدون بعد (۱۲) تعریف خواهد شد:

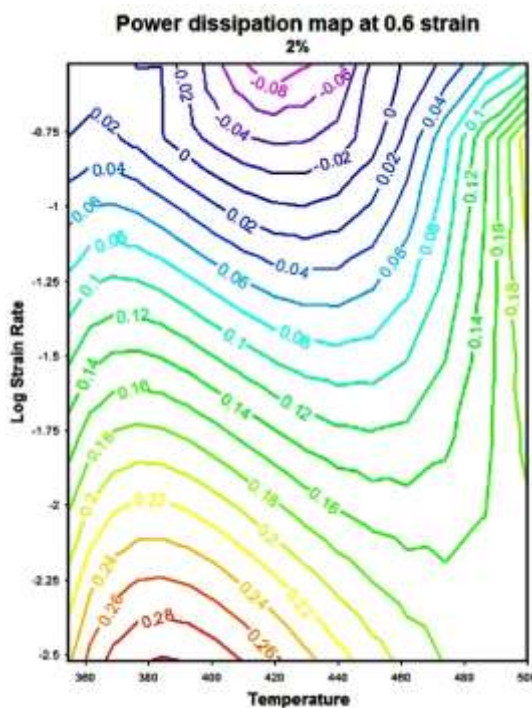
$$\xi \left(\dot{\varepsilon} \right) = \frac{\partial \ln \left(\frac{m}{m+1} + m \right)}{\partial \ln \dot{\varepsilon}} \quad (12)$$

این پارامتر تابعی از دما و نرخ کرنش است و نقشه‌های ناپایداری را تشکیل می‌دهد؛ بنابراین ناپایداری زمانی اتفاق می‌افتد که مقدار این پارامتر منفی باشد. نقشه ناپایداری فرایند گرم برای تعیین منطقه مطلوب فرآیند و منطقه ناپایداری فلز، مورد استفاده قرار می‌گیرد. ابتدا مقدار کرنش‌ها و دمای‌های مورد آزمایش محاسبه می‌شود. سپس منحنی $\log[m/m+1]$ با \log توسط روابط اسپیلاین مکعبی رسم می‌شوند. مقادیر پارامتر ناپایداری توسط رابطه ۱۲ محاسبه شده است. نقشه ناپایداری نانو کامپوزیت‌های مختلف، در شکل‌های ۸ الی ۱۰ نشان داده شده است.

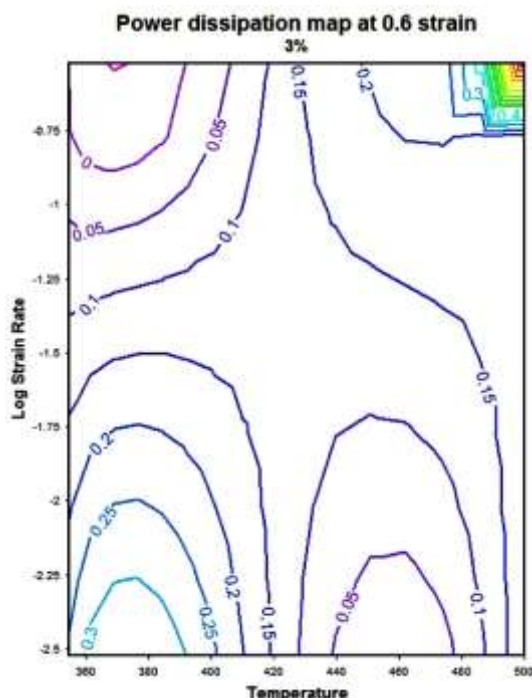


شکل ۸- نقشه ناپایداری نانو کامپوزیت با ۱٪ وزنی آلومینا

^۱ Ziegler



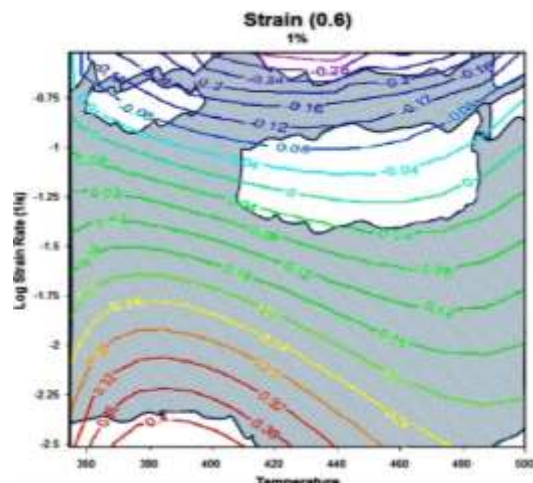
شکل ۶- نقشه‌ی اتلاف توان نانو کامپوزیت با ۲٪ وزنی آلومینا



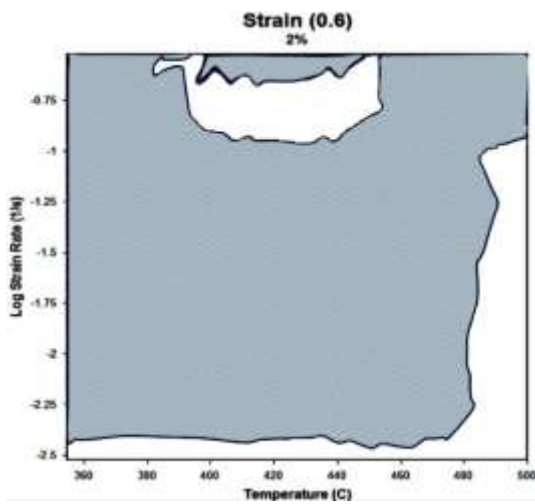
شکل ۷- نقشه‌ی اتلاف توان نانو کامپوزیت با ۳٪ وزنی آلومینا

احتمالی است. دامنه مکانیزم‌هایی که از نقشه‌های اتلاف توان قابل تشخیص هستند شامل: تبلور مجدد دینامیکی^۱ بازیابی دینامیکی^۲ و تبلور مجدد همراه با رشد دانه آست؛ در صورتی که بازیابی دینامیکی برای کار گرم ترجیح داده شده است، مکانیزم‌های تبلور مجدد دینامیکی و تغییر شکل سوپر پلاستیک نشان دهنده، منطقه مطلوب برای کار گرم می‌باشند. مهم‌ترین برداشتی که از نقشه‌های ناپایداری می‌توان داشت، تشخیص باند برشی آدیابتاتیک^۳ است که معمولاً در نرخ کرنش‌های بالا اتفاق می‌افتد. این باند موجب رخدادهای همچون، ترک، تبلور مجدد یا تغییر فاز در امتداد صفحات برشی شده، علائمی واپسی به تنش موضعی از خود نشان می‌دهد. ترک بین دانه‌ای^۴ که معمولاً در دماهای بالا رخ می‌دهد نیز، از نقشه‌های ناپایداری قابل تشخیص است [۸-۱۰].

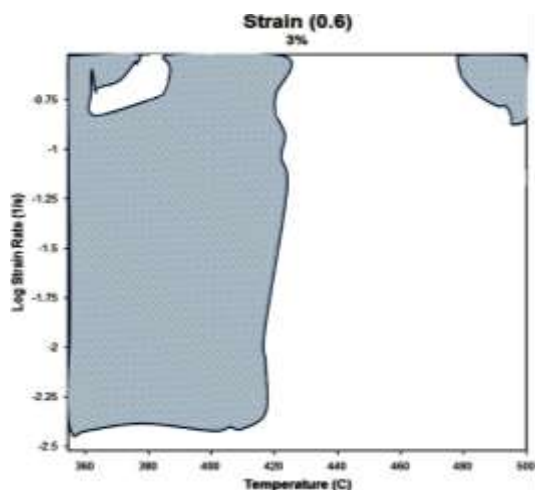
با توجه به نقشه‌های فرآیندی، مشاهده می‌شود افزایش میزان آلومینا، باعث بزرگ‌تر شدن ناحیه‌ی پایدار در نقشه‌ها شده است. منطقه پایدار در تمامی این نقشه‌ها در پایین‌ترین مقدار نرخ کرنش در بیشتر دماها قابل مشاهده است؛ همچنین در دماهای بالا و در نرخ کرنش‌های بالا نیز منطقه پایدار برای این کامپوزیت پدیدار می‌شود. بیشترین ناپایداری در دماهای پایین تا متوسط و در تمام نرخ کرنش‌ها رخ می‌دهد.



شکل ۱۱- نقشه تغییرشکل گرم نانوکامپوزیت با ۱٪ وزنی آلومینا



شکل ۹- نقشه ناپایداری نانوکامپوزیت با ۲٪ وزنی آلومینا



شکل ۱۰- نقشه ناپایداری نانوکامپوزیت با ۳٪ وزنی آلومینا

از تطبیق دو نقشه ناپایداری و اتلاف توان، نقشه فرآیندی حاصل می‌شود. این نقشه‌ها در شکل‌های ۸ الی ۱۰ نشان داده شده‌اند. قسمت هاشور خورده، نشانگر منطقه ناپایدار است. هر کدام از بازه‌های نقشه فرآیندی، نشان‌دهنده یک مکانیزم ریز ساختار که باعث اتلاف توان شده است. تحت شرایط فرآیندی، کنترل ریزساختار و تکراربذری آن در کل بازه تضمین شده است. به عبارت دیگر، فرآیند در همسایگی دره‌ها شامل ترکیبی از ریزساختارها است. در محل برخورد دره‌ها تابع پیشینه فلز و ترکیب‌های ریزساختار در آنجا

¹ Dynamic Recrystallization

² Dynamic Recovery

³ Dynamic Recrystallization Accompanied with Grain Growth

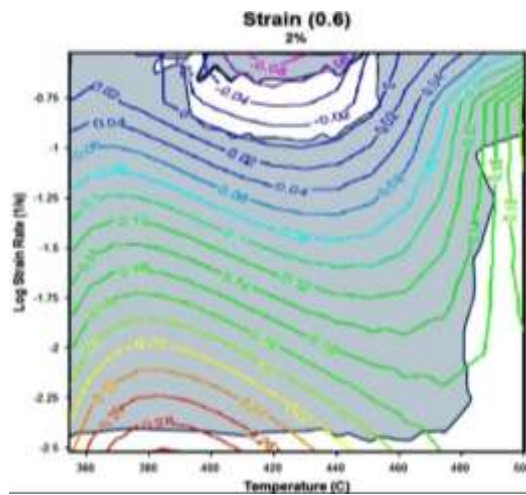
⁴ Adiabatic Shear Band (ASB)

⁵ Intergranular Cracking

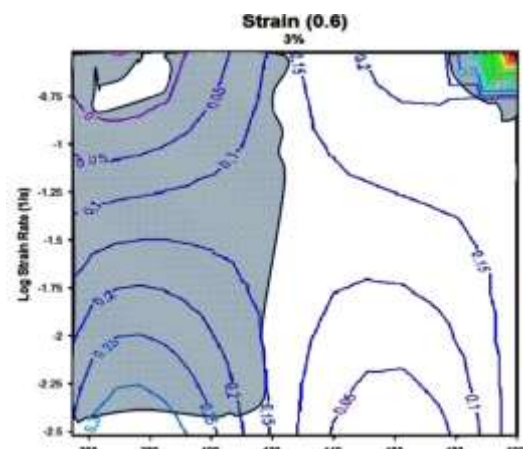
دماها مشاهده می‌شود؛ همچنین در دماهای بالا و در نرخ کرنش‌های بالا منطقه پایدار برای این کامپوزیت پیدیدار می‌شود. بیشترین ناپایداری در دماهای پایین تا متوسط و در تمام نرخ کرنش‌ها رخ می‌دهد.

۶- مراجع

- [1] Kok M (2005) Production and mechanical properties of Al₂O₃ particle-reinforced 2024 aluminium alloy composites. *J Mater Process Technol* 161: 381-387.
- [2] Mazahery A, Abdizadeh H, Baharvandi H (2009) Development of high-performance A356/nano-Al₂O₃ composites. *Mater Sci Eng A* 518: 61-64.
- [3] Nadkarni K (1976) Indian materia medica with Ayurvedic, unani products and home remedies. Popular Prakashan, Mumbai.
- [4] Prasad Y, Rao K, Gupta M (2009) Hot workability and deformation mechanisms in Mg/nano-Al₂O₃ composite. *Compos Sci Technol* 69: 1070-1076.
- [5] Ezatpour H, Torabi-Parizi M, Sajjadi SA (2013) Microstructure and mechanical properties of extruded Al/Al₂O₃ composites fabricated by stir-casting process. *Trans Nonferrous Met Soc China* 23: 1262-1268.
- [6] Chandrasekhar S, Sarma SS, Ramakrishna M, Babu PS, Rao TN, Kashyap B (2014) Microstructure and properties of hot extruded Cu-1wt% Al₂O₃ nanocomposites synthesized by various techniques. *Mater Sci Eng A* 591: 46-53.
- [7] Zamani P, Jaamialahmadi A, Shariati M (2016) Ductile Failure and safety optimization of gas pipeline. *Journal of Solid Mechanics* 8: 744-755.
- [8] Standard A (1990) Standard test methods of compression testing of metallic materials at room temperature. 1990 Annual Book of ASTM Standards, ASTM, West Conshohocken, PA, 98-105.
- [۹] رستاقی م، نوری خاجوی م (۲۰۱۴) تشخیص سایز و موقعیت نسبی ترک در لوله‌های حاوی سیال با استفاده از شبکه عصبی مصنوعی. مهندسی مکانیک مدرس ۱۴: ۴۲-۳۵.
- [10] Lin Y, Li LT, Xia YC, Jiang YQ (2013) Hot deformation and processing map of a typical Al-Zn-Mg-Cu alloy. *J Alloys Compd* 550: 438-445.
- [11] Zhang X, Kang F, Li H, Wang Z, Zhao J, Guo E (2012) Study on hot processing maps and deformation mechanisms of TC11 titanium alloy. In: Strategic Technology (IFOST), 2012 7th International Forum on 1-4.
- [12] Malvern LE (1969) Introduction to the mechanics of a continuous medium.



شکل ۱۲- نقشه تغییرشکل گرم نانو کامپوزیت با ۲٪ وزنی آلومنیا



شکل ۱۳- نقشه تغییرشکل گرم نانو کامپوزیت با ۳٪ وزنی آلومنیا

۵- نتیجه‌گیری

نانو کامپوزیت‌های Cu-XAl₂O₃ با ترکیب‌های مختلف پس از فرایندهای آسیاکاری مکانیکی و تف جوشی در دماهای ۷۵۰ درجه سانتی‌گراد تولید شده‌اند و تغییر شکل گرم آن‌ها، مورد بررسی قرار گرفته است. دماهای تغییر شکل گرم آن‌ها، مورد ۴۰۰، ۳۵۰، ۴۵۰ و ۵۰۰ درجه سانتی‌گراد و نرخ کرنش‌های ۰/۰۰۳ و ۰/۰۰۰۳ بر ثانیه انتخاب شده‌اند. با توجه به نقشه‌های فرآیندی مشاهده می‌شود، افزایش میزان آلومنیا باعث بزرگ‌تر شدن ناحیه پایدار در نقشه‌ها شده است. منطقه پایدار در تمامی این نقشه‌ها، در پایین‌ترین مقدار نرخ کرنش در اکثر